

**Т.М.Умаров, Л.Т.Хамирова**

**АТЛАС  
по ультразвуковой  
диагностике  
в гинекологии**



УДК 616-073.75:618.1

ББК 53.6+57.1

У52

*Все права защищены. Никакая часть данной книги не может быть воспроизведена в любой форме и любыми средствами без письменного разрешения владельцев авторских прав.*

*Авторы и издательство приложили все усилия, чтобы обеспечить точность приведенных в данной книге показаний, побочных реакций, рекомендуемых доз лекарств. Однако эти сведения могут изменяться.*

*Внимательно изучайте сопроводительные инструкции изготовителя по применению лекарственных средств.*

*Книга предназначена для медицинских работников.*

**Умаров, Тамирлан Магомедович.**

У52 Атлас по ультразвуковой диагностике в гинекологии / Т.М.Умаров, Л.Т.Хамидова. – М. : МЕДпресс-информ, 2020. – 320 с. : ил.

ISBN 978-5-00030-732-8

Атлас создан для решения проблемы понимания и быстрого усвоения учебного материала по ультразвуковой диагностике в гинекологии. Особенность атласа заключается в том, что каждая патология представлена в виде схематического изображения с обозначением всех ее ультразвуковых и анатомических особенностей.

Яркая подача и дизайнерский подход, минимальное текстовое сопровождение и отсутствие лишней информации способствуют быстрому запоминанию и структурированию учебного материала, особенно начинающими специалистами.

Содержание атласа было разделено по анатомическому принципу, что также облегчает его понимание. Атлас можно использовать как справочник для быстрого поиска нужной информации.

Для врачей ультразвуковой диагностики, гинекологов, студентов медицинских вузов и факультетов.

УДК 616-073.75:618.1

ББК 53.6+57.1

ISBN 978-5-00030-732-8

© Умаров Т.М., Хамидова Л.Т., 2019

© Оформление, оригинал-макет, иллюстрации.

Издательство «МЕДпресс-информ», 2019

# Авторы

**Лайла Тимарбековна  
Хамидова**

Врач ультразвуковой диагностики,  
руководитель научного отделения  
ультразвуковых и функциональных  
методов исследований НИИ СП  
им. Н.В.Склифосовского, к.м.н.

✉ [sklif\\_diagnostiks](#)

**Тамирлан Магомедович  
Умаров**

Врач ультразвуковой диагностики,  
научный сотрудник отделения  
ультразвуковых и функциональных  
методов исследований НИИ СП  
им. Н.В.Склифосовского

✉ [doctor\\_umarov](#)



## **Дорогие коллеги!**

Перед вами наглядный атлас.

Материал, изложенный в атласе, будет понятен не только тем, кто многие годы своей жизни посвятил изучению процесса распространения ультразвуковых волн, но и тем, кто делает первые шаги в профессии врача ультразвуковой диагностики, а также многочисленной армии гинекологов.

Метод, основанный на визуализации, должен быть наглядным, не правда ли? Именно поэтому мы создали скетч-атлас.

В нем мы постарались представить каждую патологию в виде иллюстраций, где собраны все ее эхографические особенности.

Это более трехсот невероятно красочных страниц, отрисованных нами до мельчайших деталей.

Теперь, чтобы изучить, вспомнить или найти необходимую информацию, уйдет совсем немного времени. Также мы разработали графический протокол.

Используя его в работе, вы ускорите свой процесс и дадите визуальное понимание картины лечащему врачу.

Надеемся, наш атлас ультразвуковой диагностики в гинекологии будет полезен для вас и станет неотъемлемой частью вашей ежедневной практики.

# СОДЕРЖАНИЕ

---

Сокращения	8
------------	---

## МЕТОДИКА ИССЛЕДОВАНИЯ

1. Методика исследования	11
--------------------------	----

## УЛЬТРАЗВУКОВАЯ АНАТОМИЯ В НОРМЕ

2. Ультразвуковая анатомия в норме	19
------------------------------------	----

## ПАТОЛОГИЯ МАТКИ

3. Врожденные пороки развития внутренних органов	47
4. Эндометриоз	61
5. Миома матки	75
6. Гиперпластические процессы эндометрия	93
7. Эндометрит	113
8. Рак эндометрия	123

## ПАТОЛОГИЯ ШЕЙКИ МАТКИ

9. Гиперпластические процессы и кисты шейки матки	135
10. Эндоцервицит	141
11. Рак шейки матки	149

## ПАТОЛОГИЯ ЯИЧНИКОВ

12. Эндокринное бесплодие	159
13. Опухолевидные образования яичников	167
14. Доброкачественные опухоли яичников	185
15. Злокачественные опухоли яичников	207
16. Апоплексия яичника	225
17. Перекрут придатков матки	231

**ПАТОЛОГИЯ МАТОЧНЫХ ТРУБ**

18. Сальпингоофорит	237
---------------------	-----

**ВНУТРИМАТОЧНЫЕ ВМЕШАТЕЛЬСТВА**

19. Эхогистеросальпингография	255
20. Состояние после абортов	261
21. Внутриматочные контрацептивы	269

**ПАТОЛОГИЯ БЕРЕМЕННОСТИ**

22. Внематочная беременность	277
23. Трофобластическая болезнь	299

**ПРОЧАЯ ПАТОЛОГИЯ**

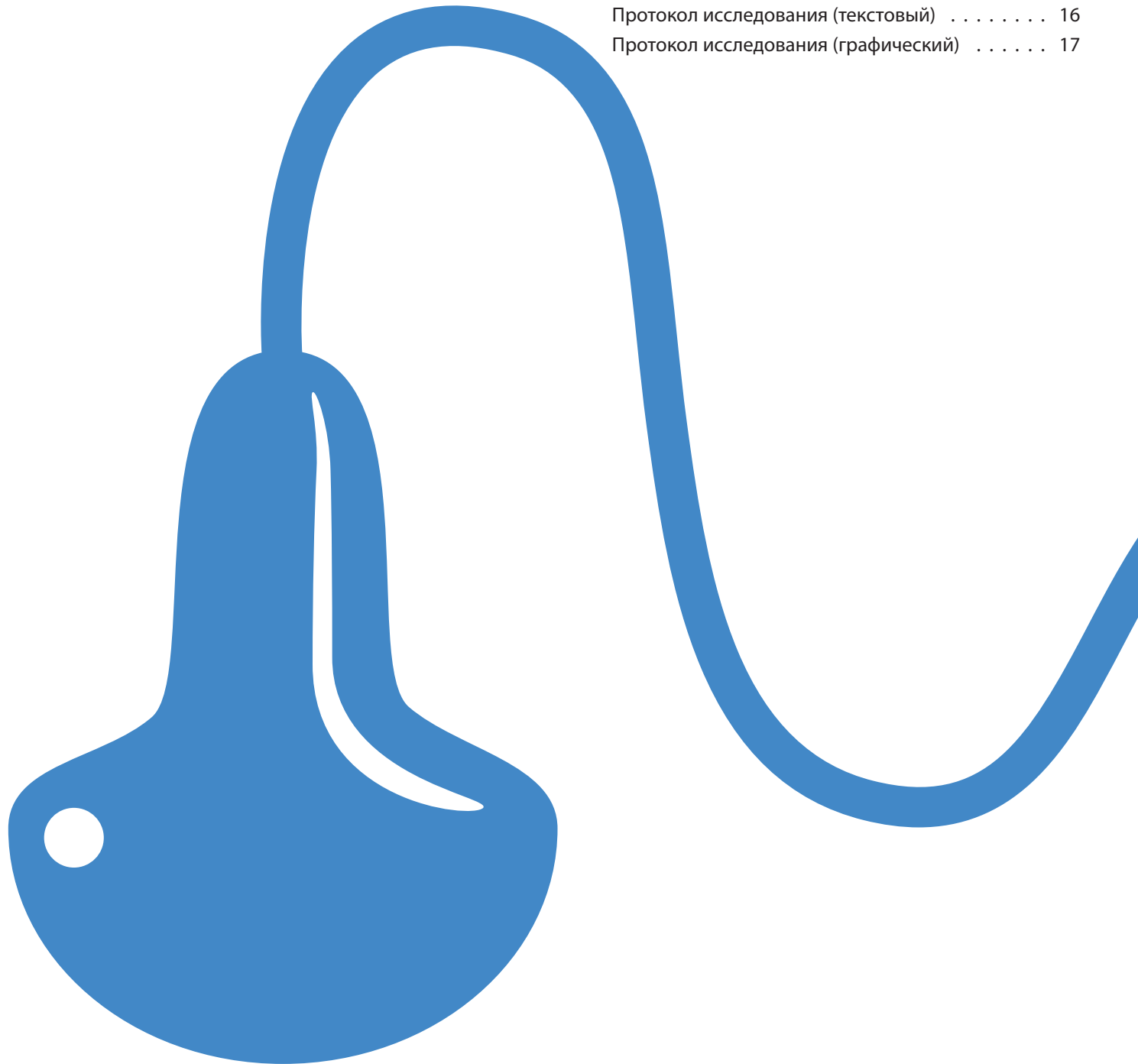
24. Патология влагалища	307
25. Варикозное расширение вен малого таза	311

**ПРИЛОЖЕНИЕ**

Нормативные значения	314
Графический протокол исследования	317

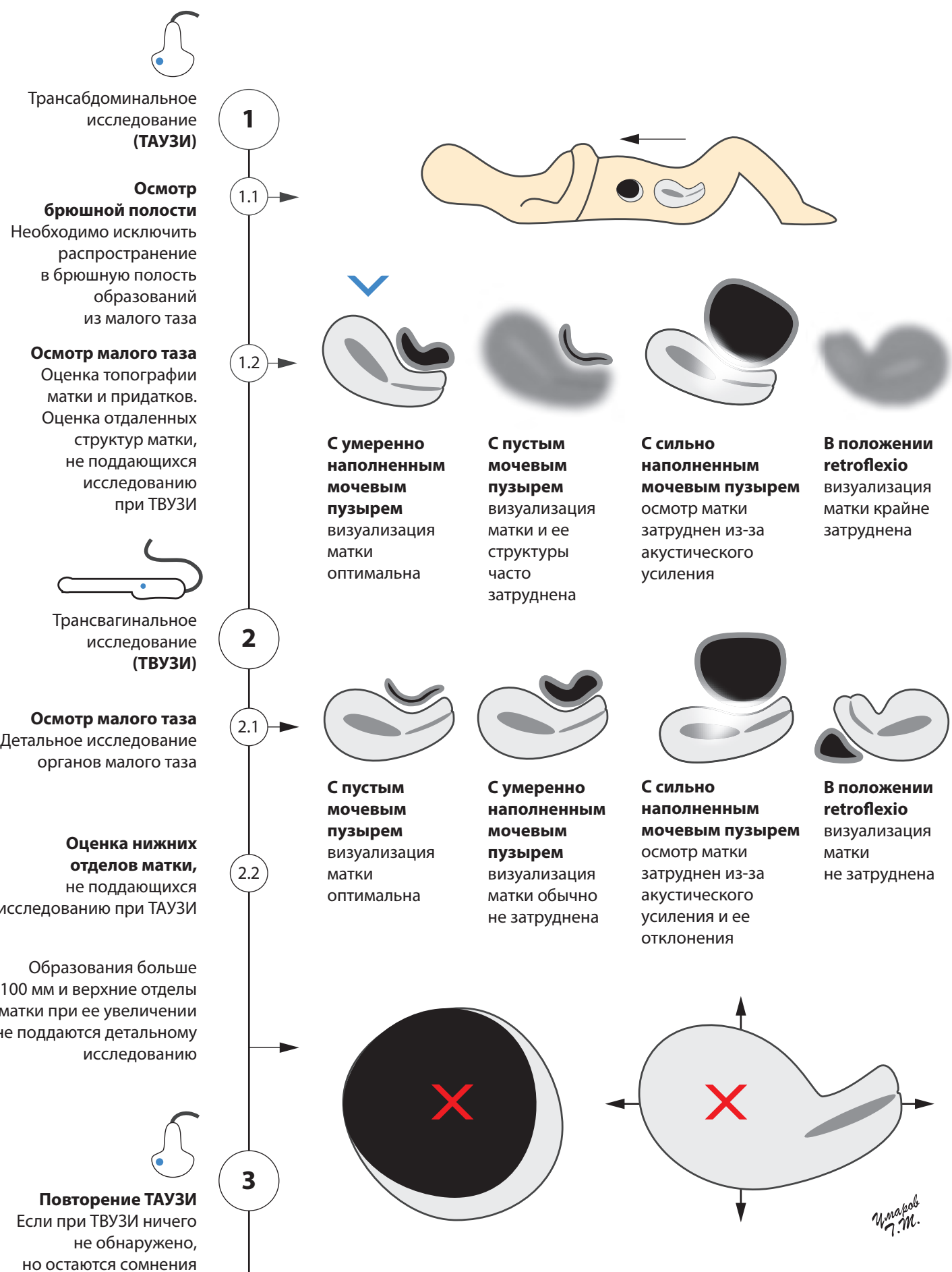
# 1. МЕТОДИКА ИССЛЕДОВАНИЯ

Порядок исследования . . . . .	12
Принципы подготовки к ТВУЗИ . . . . .	13
Принципы проведения ТВУЗИ при продольном сканировании . . . . .	14
Принципы проведения ТВУЗИ при поперечном сканировании . . . . .	15
Протокол исследования (текстовый) . . . . .	16
Протокол исследования (графический) . . . . .	17

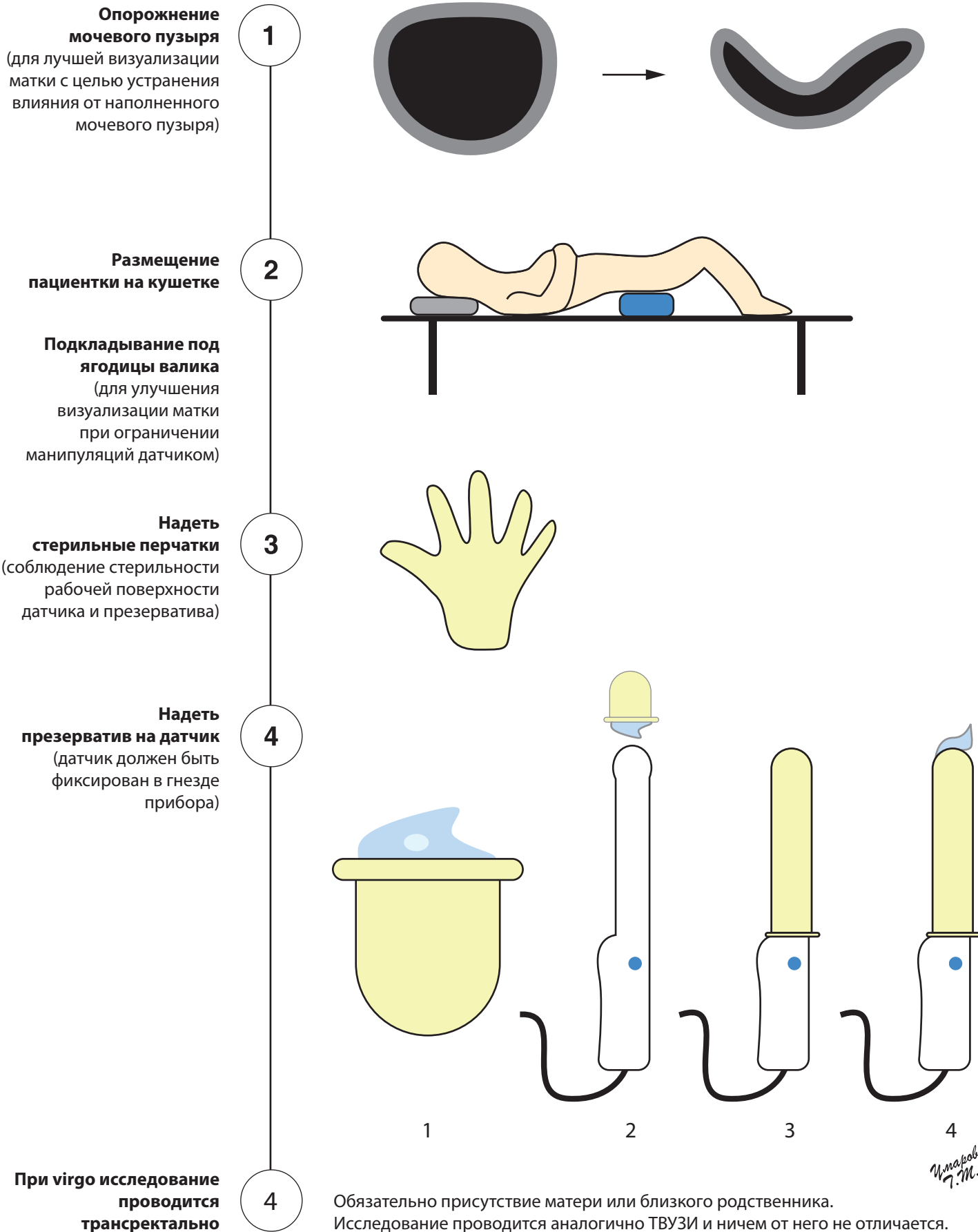


Чмаков  
Г.М.

## Порядок исследования



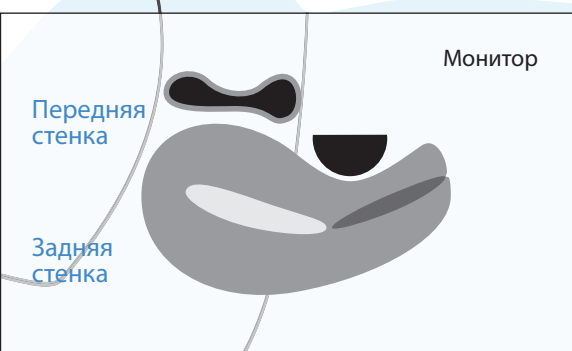
## Принципы подготовки к ТВУЗИ



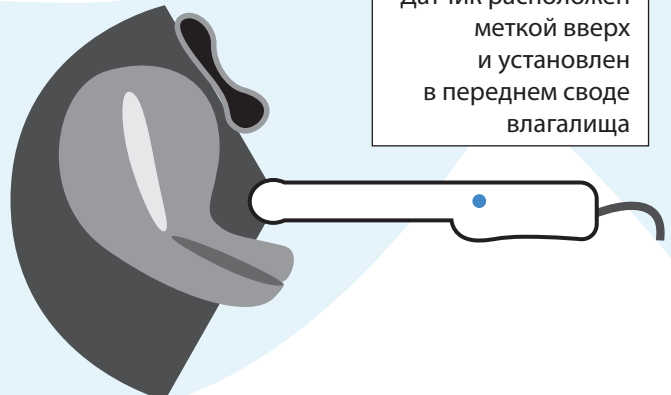
## Принципы проведения ТВУЗИ при продольном сканировании

1

### Положение матки anteflexio

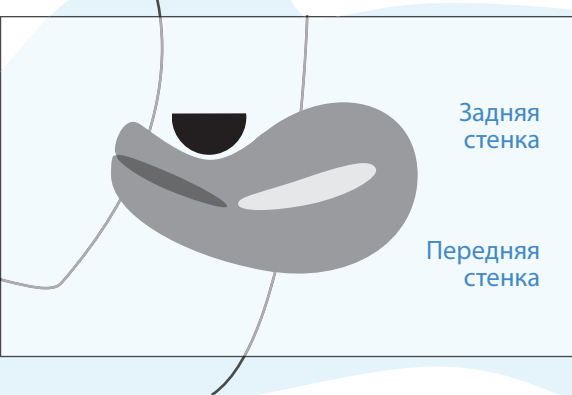


Датчик расположен меткой вверх и установлен в переднем своде влагалища



2

### Положение матки retroflexio

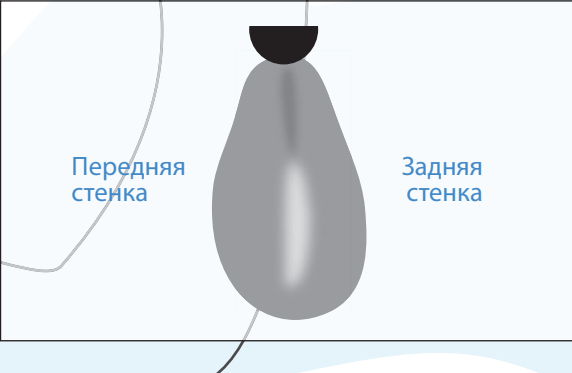


Датчик расположен меткой вверх и установлен в заднем своде влагалища

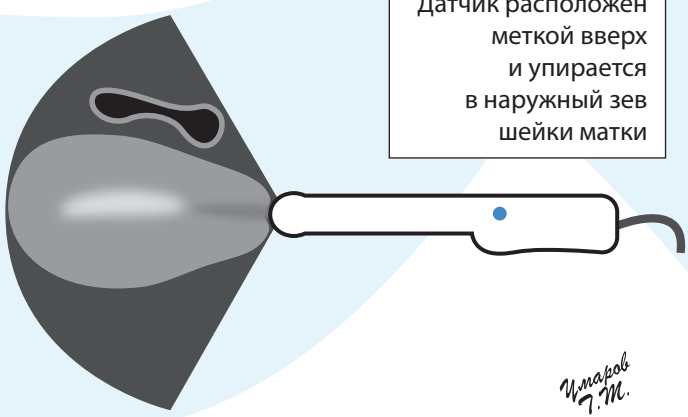


3

### Отклонение матки кзади



Датчик расположен меткой вверх и упирается в наружный зев шейки матки



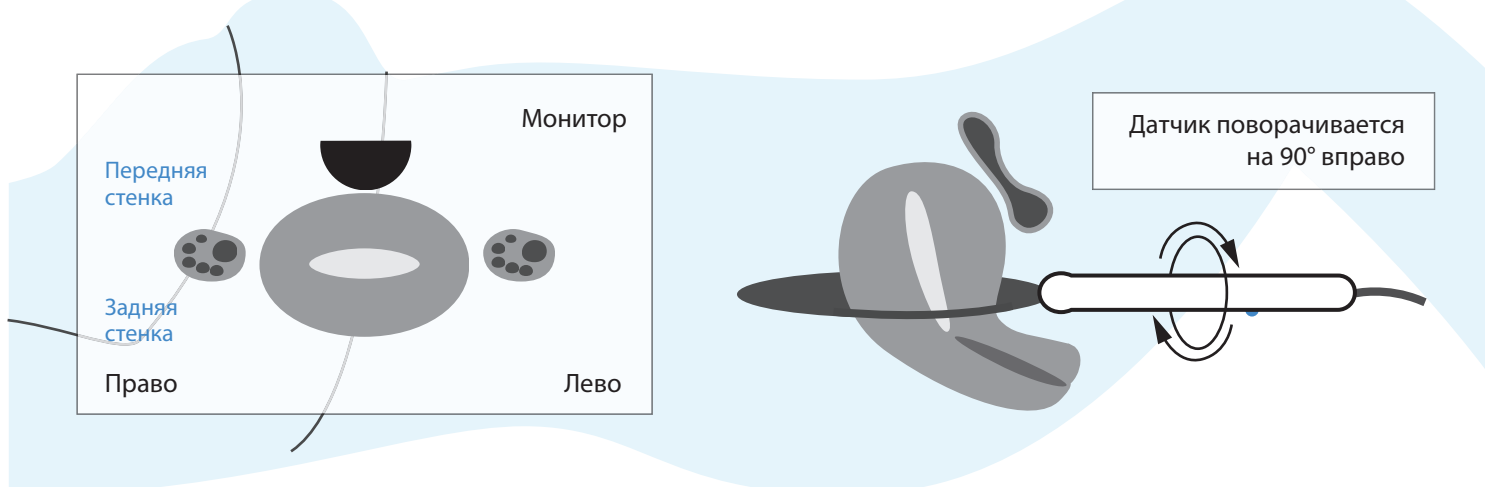
**Отмечается при слабости мышц тазового дна и опущении матки.**  
Отсутствует угол между телом и шейкой матки.  
Визуализация затруднена, а оценка параметров не точная!

Чернов  
Ч.М.

## Принципы проведения ТВУЗИ при поперечном сканировании

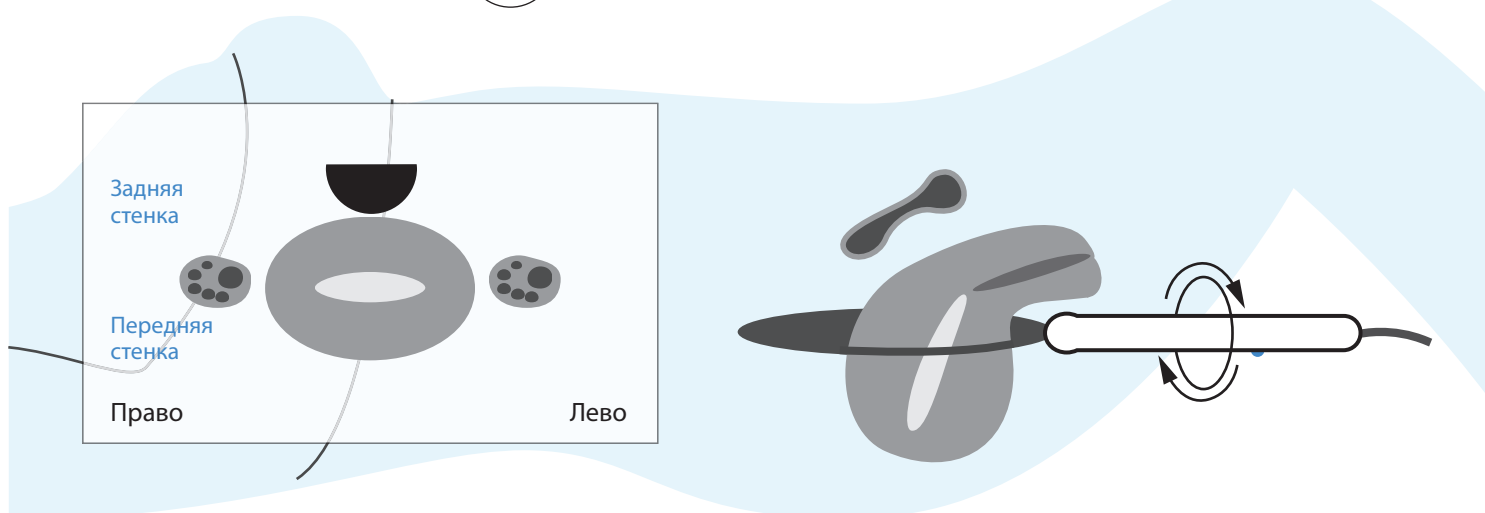
1

### Положение матки anteflexio



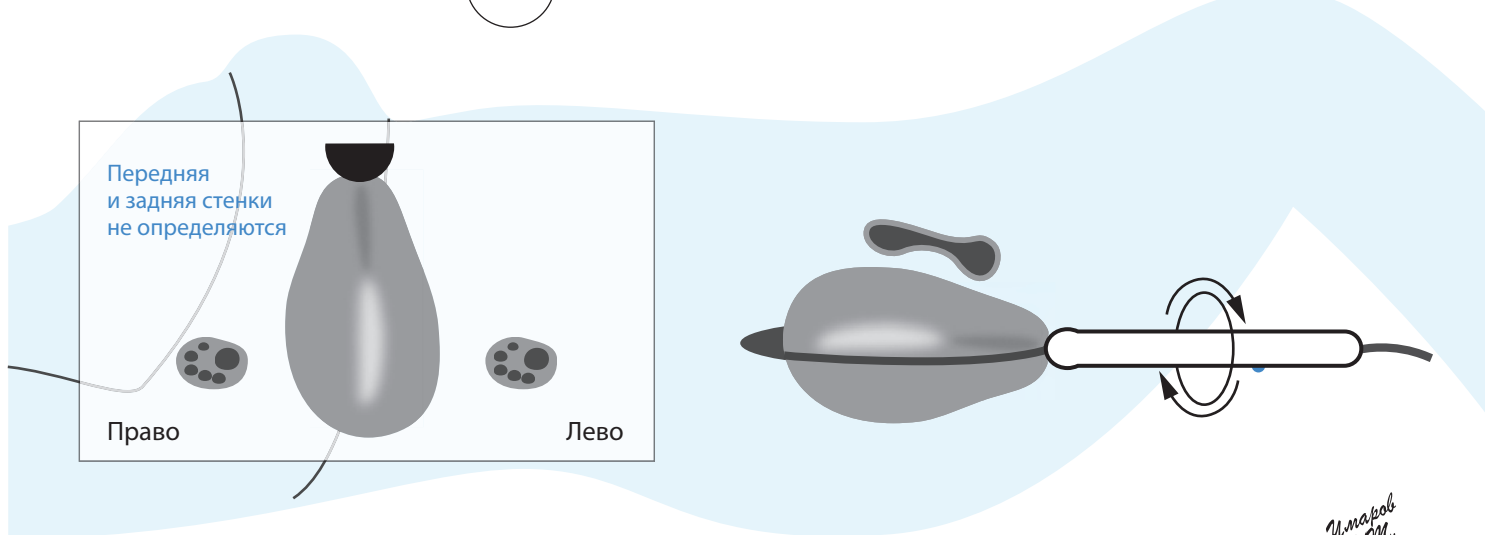
2

### Положение матки retroflexio



3

### Отклонение матки кзади

Чмаков  
Ч.М.

Организация «\_\_\_\_\_»  
 Адрес \_\_\_\_\_ Телефон \_\_\_\_\_  
 Отделение \_\_\_\_\_  
 Дата \_\_\_\_\_ Время \_\_\_\_\_  
 Пациент \_\_\_\_\_ Пол \_\_\_\_\_ Возраст \_\_\_\_\_

### УЗИ женских половых органов

**ПНМ** (первый день последней нормальной менструации): \_\_\_\_\_ / менопауза

**Акушерский срок беременности:** \_\_\_\_\_ нед., дн. / нет

**Доступ:** ТВУЗИ / ТАУЗИ

**Шейка матки, структура:** однородна / неоднородна диффузно, очагово

**Цервикальный канал:** не расширен / расширен до \_\_\_\_ мм за счет \_\_\_\_\_ содержимого

**Тело матки** в размерах не увеличено, увеличено: продольный \_\_\_\_ мм, переднезадний \_\_\_\_ мм, поперечный \_\_\_\_ мм

**Положение матки** в anteverssio, в retroversio

**Контуры матки** ровные / неровные, четкие / нечеткие

**Структура миометрия** однородна / неоднородна диффузно, очагово

**Васкуляризация:** не изменена, усиlena, ослаблена, не определяется

**Полость матки** не деформирована / деформирована / расширена до \_\_\_\_ мм за счет \_\_\_\_\_ содержимого

**М-ЭХО** визуализируется \_\_\_\_ мм, нет / однородно / неоднородно диффузно, очагово / кровоток не изменен, усилен

**ПРАВЫЙ ЯИЧНИК** визуализируется / не визуализируется

**Расположение:** у трубных углов матки, у ребра матки, за маткой, на удалении от матки, у дна матки

**Размеры:** длина \_\_\_\_ мм, толщина \_\_\_\_ мм, ширина \_\_\_\_ мм, объем \_\_\_\_ см<sup>3</sup>

**Контуры:** ровные / неровные, четкие / нечеткие

**Структура** однородна / неоднородна диффузно, очагово

**Фолликулы:** в эхоскане визуализируется до фолликулов, до \_\_\_\_ мм

**Желтое тело:** визуализируется \_\_\_\_\_ эхоструктуры, \_\_\_\_ мм / не визуализируется

**Объемные, полостные образования** \_\_\_\_\_ / не обнаружены

**Васкуляризация:** не изменена, усиlena, ослаблена, не определяется

**Маточная труба:** не визуализируется / визуализируется

**ЛЕВЫЙ ЯИЧНИК** визуализируется / не визуализируется

**Расположение:** у трубных углов матки, у ребра матки, за маткой, на удалении от матки, у дна матки

**Размеры:** длина \_\_\_\_ мм, толщина \_\_\_\_ мм, ширина \_\_\_\_ мм, объем \_\_\_\_ см<sup>3</sup>

**Контуры:** ровные / неровные, четкие / нечеткие

**Структура** однородна / неоднородна диффузно, очагово

**Фолликулы:** в эхоскане визуализируется до фолликулов, до \_\_\_\_ мм

**Желтое тело:** визуализируется \_\_\_\_\_ эхоструктуры, \_\_\_\_ мм / не визуализируется

**Объемные, полостные образования** \_\_\_\_\_ / не обнаружены

**Васкуляризация:** не изменена, усиlena, ослаблена, не определяется

**Маточная труба:** не визуализируется / визуализируется

**Своды** свободные, нет

**Варикозное расширение вен малого таза** нет / есть \_\_\_\_ мм, \_\_\_\_ степени

Снимки в количестве \_\_\_\_ шт. прилагаются / не прилагаются

**ЗАКЛЮЧЕНИЕ** \_\_\_\_\_

Исследование проведено на оборудовании: \_\_\_\_\_

Врач ультразвуковой диагностики \_\_\_\_\_

Подпись \_\_\_\_\_

Ч.Марков  
Ч.М.

## ГРАФИЧЕСКИЙ ПРОТОКОЛ ИССЛЕДОВАНИЯ

## Миометрий

**Положение матки**

- В anteversio
- В retroversio

**Эхоструктура**

- Однородная
- Неоднородная диффузно
- Неоднородная очагово

**Расположение образований:**

- передняя стенка
- задняя стенка
- левая бок. стена
- правая бок. стена
- дно матки
- перешеек
- субмукозное

**Толщина миометрия** MM

## Биометрия матки

1. Длина матки MM
2. Толщина матки MM
- 2.1. Толщина передней стенки MM
- 2.2. Толщина задней стенки MM

## 3. Эндометрий (М-эхо)

**Эхоструктура**

- Однородное
- Неоднородное

**Кровоток**

- Норма
- Усилен

MM

## Полость матки

**Полость матки**

- Не расширена
- Расширена

**За счет:**

- анэхогенного содержимого до (C) MM
- солидного компонента размерами MM

**плодного яйца**  **Кол-во**

**СВД** = MM, **беременность** нед. дн.

**КТР** = MM, **беременность** нед. дн.

**Угрозы:** есть  нет

**M-эхо = A+B**

## Яичники и матка в поперечном сечении

**Ширина** MM

**V = cm<sup>3</sup>**

1. MM 2. MM

3. Кол-во фолликулов шт. Макс. диаметр MM

4. MM

**Желтое тело**

нет  справа  с обеих сторон  слева

Размер MM

Эхоструктура: изо-  ан-  смеш.

Кровоток: норм.  ослаблен

**Образование яичника**

1. Размер MM

2. Эхоструктура: изо-  ан-  смеш.

3. Кровоток: нет  есть  усилен

4. Толщина стенки MM

5. Наличие

- солидного компонента
- перегородки
- кровоток в компоненте

**Шейка матки**

1. Ширина MM 2. Длина MM 3. Толщина MM **V= cm<sup>3</sup>**

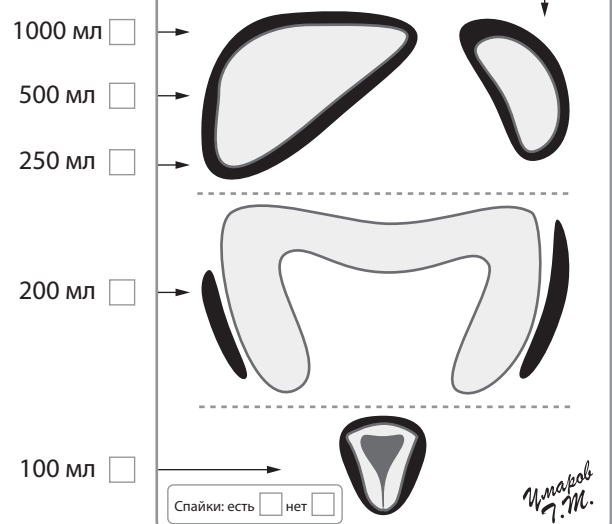
**Цервикальный канал**

- Не расширен
- Расширен за счет
- анэхогенного содержимого до MM
- толщина эндоцервикаса MM

**Эхоструктура**

- Кисты
- Образования
- Кальцификаты

## Свободная жидкость

>1000 мл 

## Маточные трубы

Визуализируются: да  нет

Справа  Слева  С обеих сторон

Развивающаяся  Замершая

**Стенка** MM

**Взвесь**

Форма:

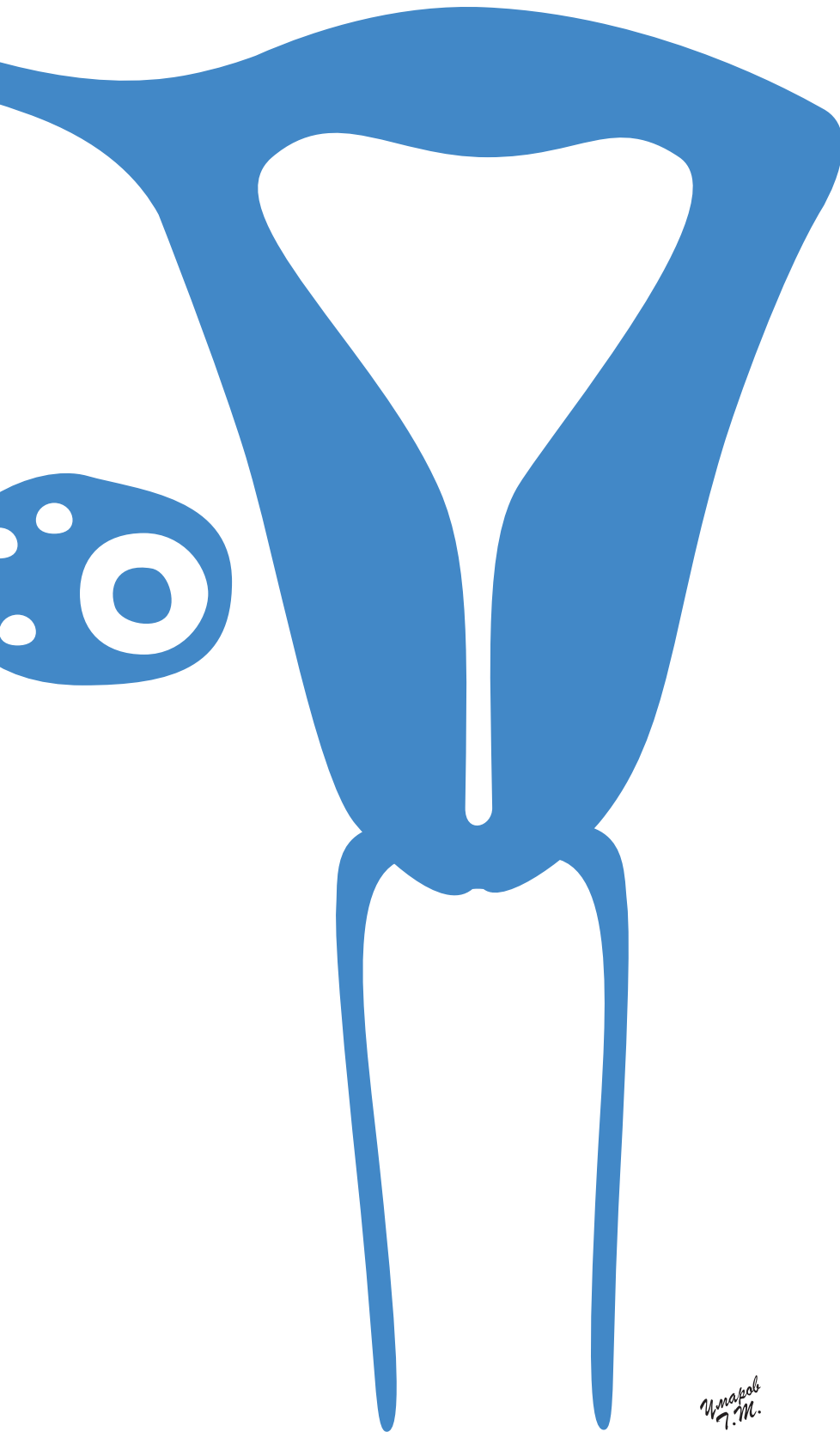
- округлая
- овальная
- продолговатая
- змеевидная
- грушевидная
- «двустволовая»

Расширина за счет анэхогенного содержимого  до MM

Расширина за счет солидного компонента  до MM

Расширина за счет трубной беременности  до MM

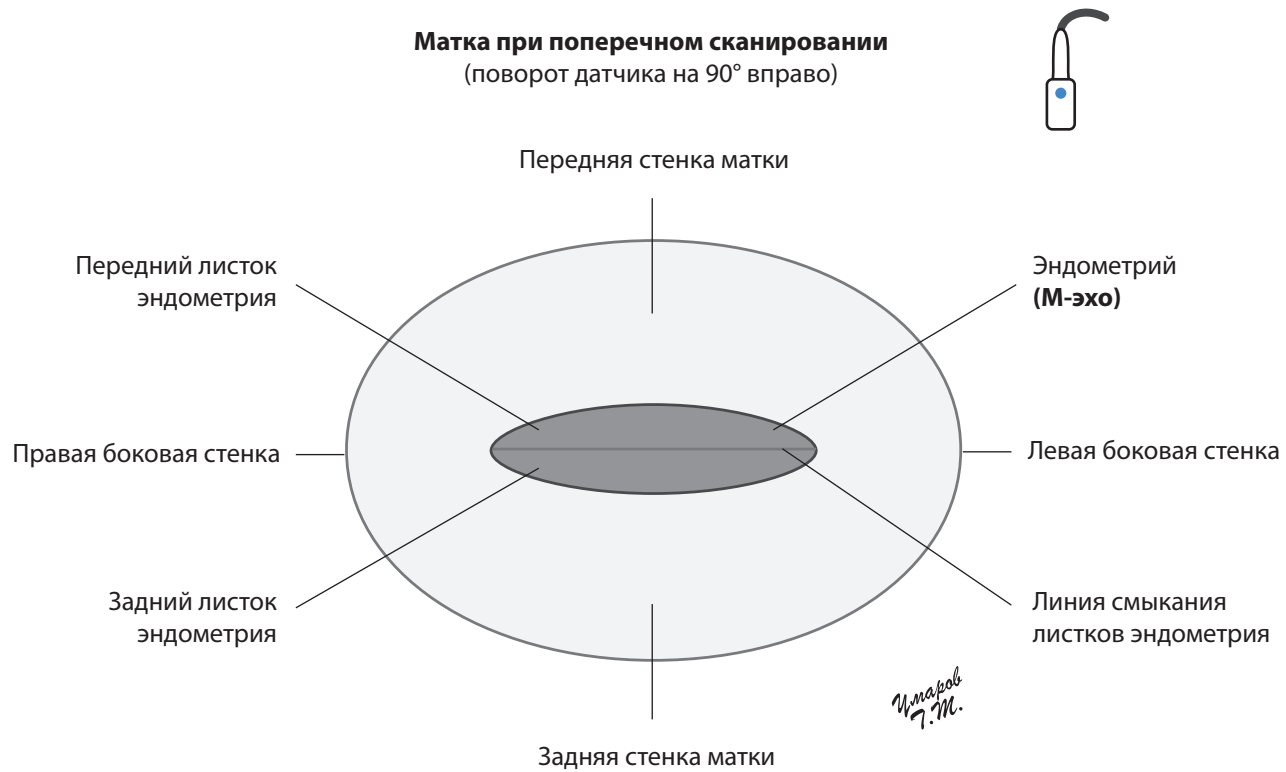
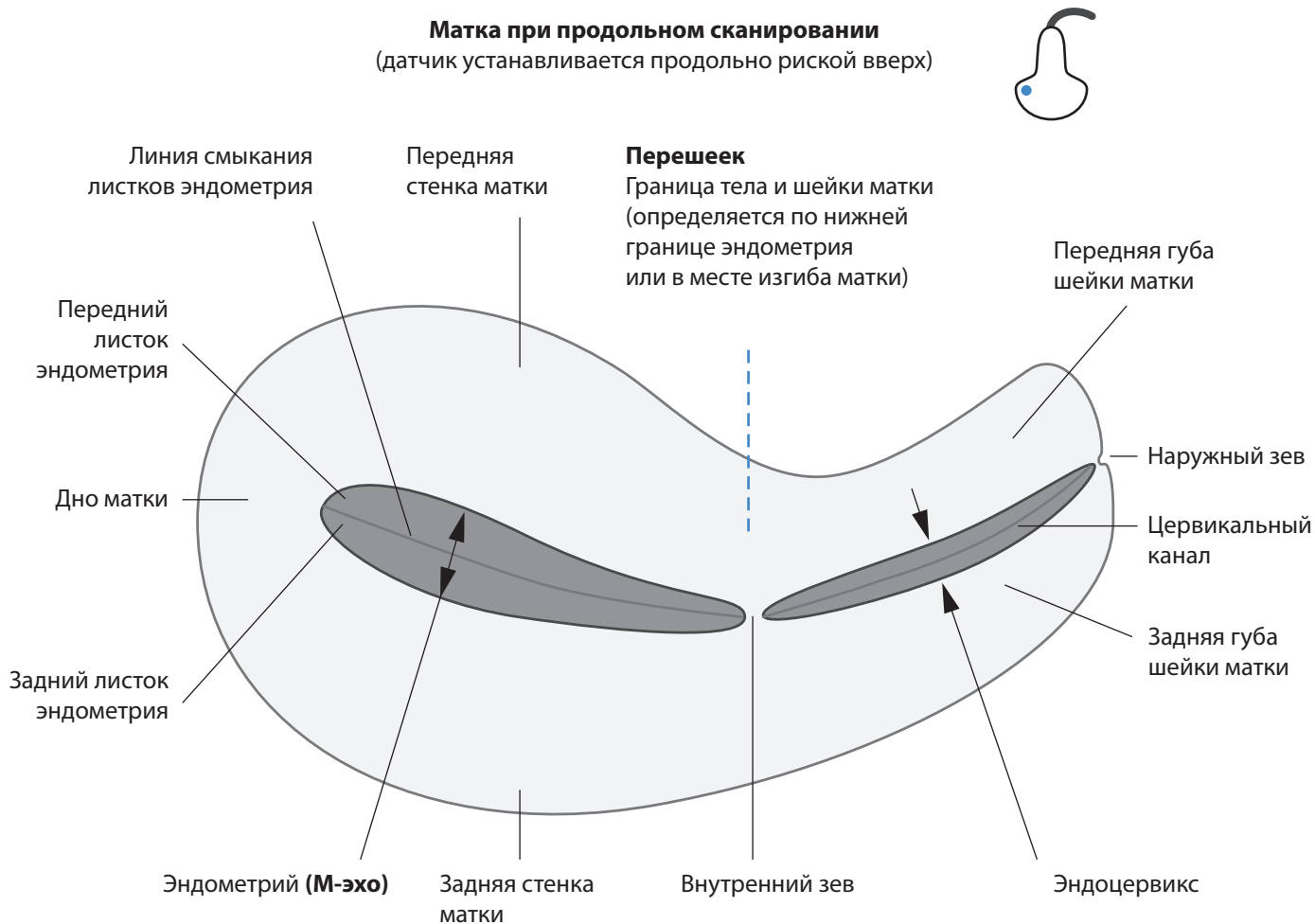
## 2. УЛЬТРАЗВУКОВАЯ АНАТОМИЯ В НОРМЕ



Чмаков  
Г.М.

Ультразвуковая анатомия матки . . . . .	20
Эхокартина матки . . . . .	21
Кровоснабжение матки . . . . .	22
Ультразвуковая анатомия шейки матки . . . . .	23
Эхокартина шейки матки . . . . .	24
Васкуляризация шейки матки . . . . .	25
Биометрия матки . . . . .	26
Биометрия шейки матки . . . . .	27
Границы матки и шейки матки . . . . .	28
Погрешности измерения матки и шейки матки . . . . .	29
Ультразвуковая анатомия и эхоструктура яичников . . . . .	30
Эхоструктура желтого тела . . . . .	31
Васкуляризация яичников . . . . .	32
Локализация яичников . . . . .	33
Биометрия яичников . . . . .	34
Формы тела матки, шейки матки и яичников . . . . .	35
Маточные трубы . . . . .	36
Фазы менструального цикла и динамика эхокартины . . . . .	37
Десквамация и ранняя регенерация . . . . .	38
Ранняя фолликулярная фаза и ранняя пролиферация . . . . .	39
Средняя фолликулярная/ пролиферативная фаза . . . . .	40
Созревание доминантного фолликула и овуляция . . . . .	41
Ранняя лuteиновая фаза (формирование желтого тела) . . . . .	42
Средняя лuteиновая фаза (расцвет желтого тела) . . . . .	43
Поздняя лuteиновая фаза (угасание желтого тела) . . . . .	44
Эхокартина яичников в постменопаузе . . . . .	45
Эхокартина матки в постменопаузе	46

## Ультразвуковая анатомия матки



## 15. ЗЛОКАЧЕСТВЕННЫЕ ОПУХОЛИ ЯИЧНИКОВ

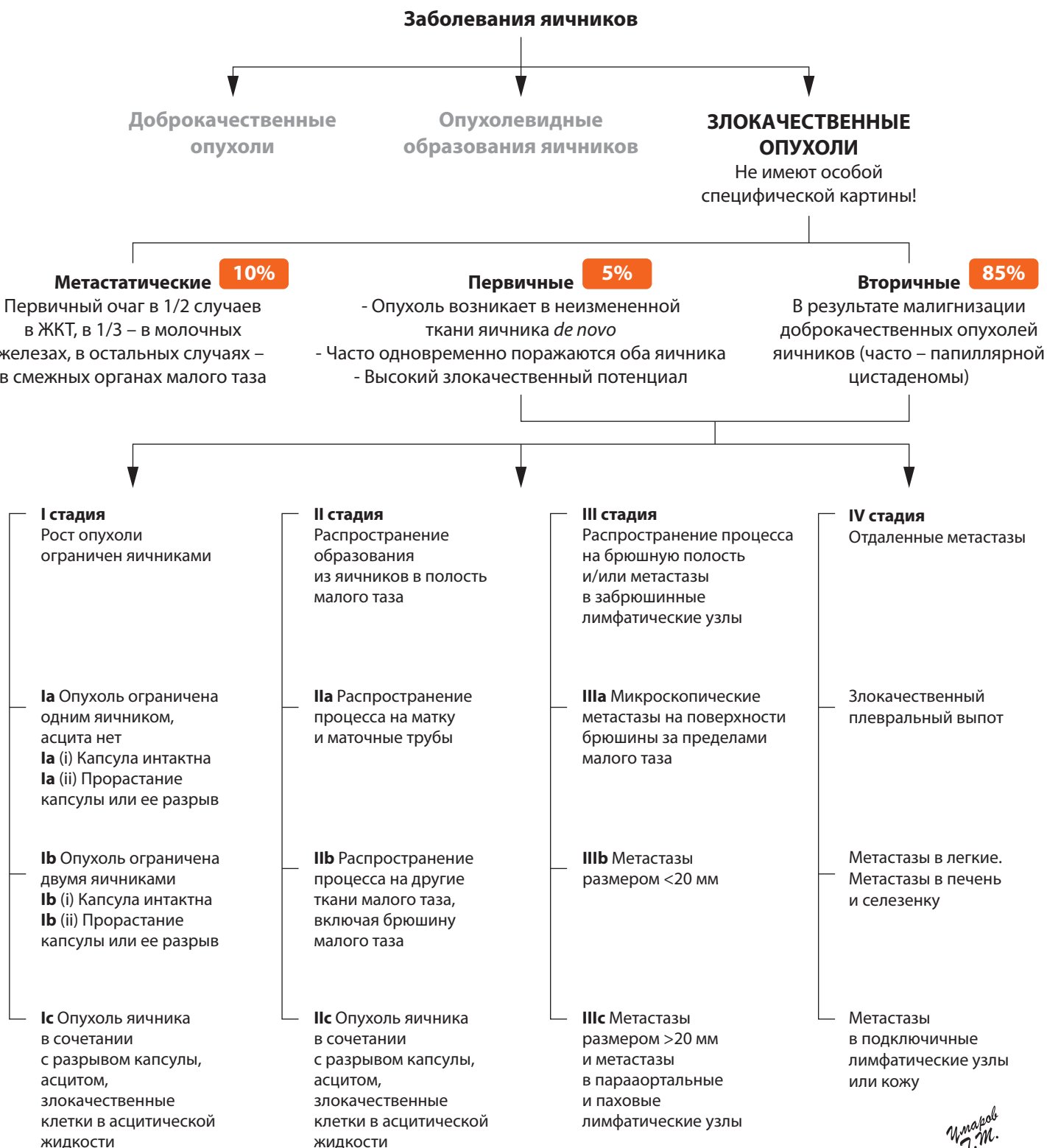


Классификация . . . . .	208
Дифференциальная диагностика	
доброкачественных и злокачественных	
образований яичников в В-режиме . . . . .	209
Дифференциальная диагностика	
доброкачественных и злокачественных	
образований яичников	
при допплерографии . . . . .	210
Примеры . . . . .	211
Серозная аденокарцинома . . . . .	212
Серозная папиллярная	
цистаденокарцинома . . . . .	213
Поверхностная папиллярная	
цистаденокарцинома . . . . .	214
Злокачественная серозная аденофиброма . . . . .	215
Муцинозная цистаденокарцинома . . . . .	216
Эндометриоидная цистаденокарцинома . . . . .	217
Смешанные эпителиальные	
злокачественные опухоли . . . . .	218
Дисгерминома . . . . .	219
Типы распространения рака яичников . . . . .	220
Алгоритм обследования при раке	
яичников . . . . .	221
Первичный рак яичников . . . . .	222
Рецидив злокачественной опухоли	
яичников . . . . .	223

## Классификация

### Этиология

1. Большое число овуляций без наступления беременностей, раннее менархе и поздняя менопауза
2. Генетическая предрасположенность (риск повышается в 2 раза)
3. Хронические гинекологические заболевания (хронический сальпингоофорит, эндометриоз)
4. Любые онкологические заболевания в анамнезе, особенно рак молочной железы и тела матки
5. Отсутствие половой жизни
6. Ожирение и сахарный диабет
7. Высокий социальный статус



Черкасов  
М.М.

## Дифференциальная диагностика доброкачественных и злокачественных образований яичников в В-режиме

### ДОБРОКАЧЕСТВЕННОЕ

#### Не имеет значения

Однако имеется тенденция к правильным формам, ровным контурам и меньшим размерам

Форма  
Контур  
Размеры

#### 100% доброкачественное

Однако имеется риск малигнизации образования

Эхокартина  
простой кисты

### ЗЛОКАЧЕСТВЕННОЕ

#### Не имеет значения

Однако имеется тенденция к неправильным формам, неровным контурам и большим размерам

#### 0% злокачественные

Эхонегативные  
образования

$\leq 5$

$>5$

1

2

$<3$  мм

$\geq 3$  мм

Наличие  
перегородок

$<6$

$\geq 6$

Толщина  
перегородок

$<6$

$\geq 6$

Количество  
папиллярных  
включений

$<4$  мм

$\geq 4$  мм

Размеры  
папиллярных  
включений

1

2

$<10$  мм

$\geq 10$  мм

Солидный  
компонент  
кистозно-солидных  
образований

- **Однородное** гиперэхогенное
  - Однородное изоэхогенное
  - Однородное гипоэхогенное

Эхокартина  
солидного  
образования

1

2

При больших размерах всегда  
**неоднородное (кистозно-солидное):**

- Эхопозитивное с гиперэхогенными включениями
- Эхопозитивное с гипоэхогенными включениями
- Эхопозитивное с включениями всех типов
- Смешанный тип эхоструктуры

2

При маленьких размерах  
возможно **однородное** строение

Иванов  
А.М.

## Дифференциальная диагностика доброкачественных и злокачественных образований яичников при допплерографии

### ДОБРОКАЧЕСТВЕННОЕ

Отсутствует  
(доказывает 100% характер доброкачественности)  
или не сильно выражен

#### Периферическая

#### Единичные 2–3

Более низкие показатели  
 $<6$  см/с

Отсутствуют

Наличие  
кровотока  
в опухоли

Локализация  
кровотока

#### Количество локусов внутриопухолевого кровотока

нет

$<18$  см/с

$<11$  см/с

$>0,44$

$<1$

Более низкие показатели  
 $<6$  см/с

есть

Дихотомическое  
распределение  
сосудов

V<sub>max</sub>

V<sub>mean</sub>

R<sub>lmin</sub>

P<sub>lmin</sub>

V/V<sub>max</sub>

Дикротическая  
вырезка кривой  
кровотока

Допплеровские  
артефакты

### ЗЛОКАЧЕСТВЕННОЕ

Определяется почти во всех  
опухолях

#### Центральная или хаотичная

Наличие кровотока  
- в перегородках

1

- в папиллярных разрастаниях

2

#### Множественные 5–8

2

есть  $\geq 1:2$

$\geq 18$  см/с

$\geq 11$  см/с

$\leq 0,44$

$>1$

Высокие показатели  
 $\geq 6$  см/с

2

1

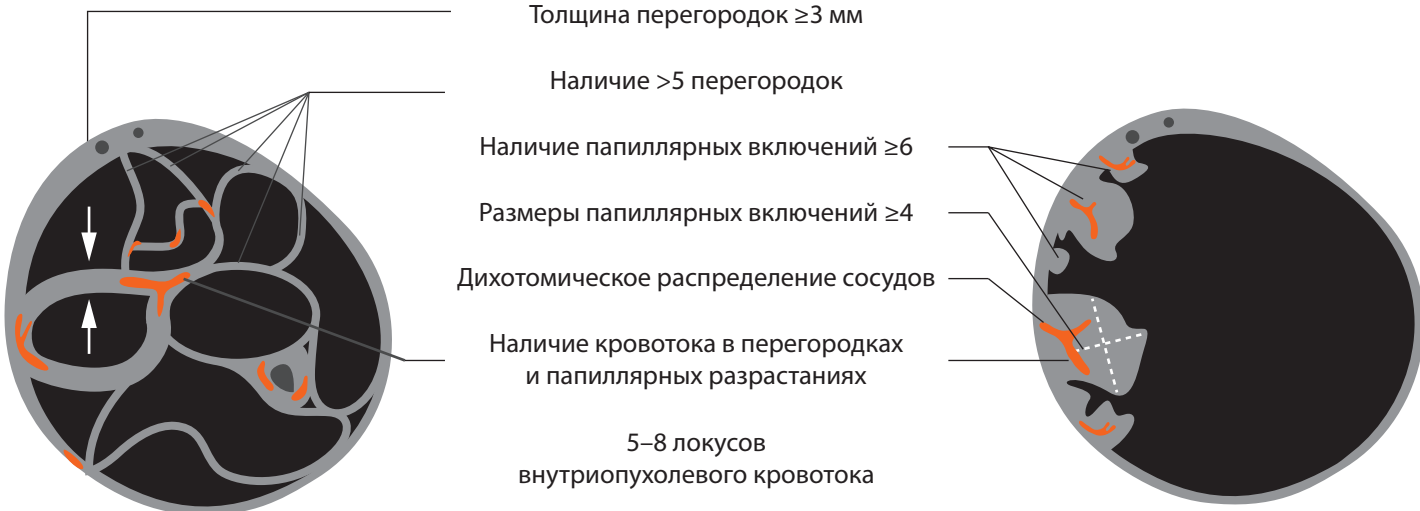
Артефакты цветовой вспышки,  
создающие иллюзию  
внутриопухолевого кровотока

ПОРОГОВОЕ ЗНАЧЕНИЕ 8 баллов

Ч.Марков  
Ч.М.

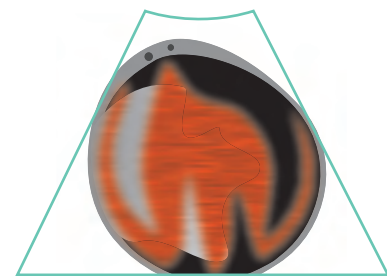
## Примеры

### Эхонегативные образования



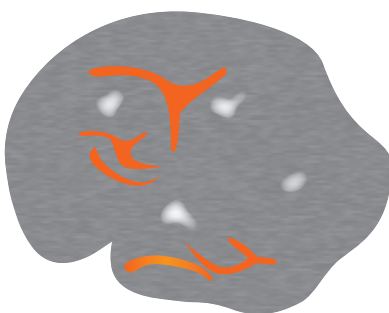
### Кистозно-солидные образования

Эхопозитивный компонент  $\geq 10$  мм



Артефакты цветовой вспышки, создающие иллюзию внутриопухолевого кровотока

### Эхокартина солидного образования



Эхопозитивное с гиперэхогенными включениями



Эхопозитивное с гипо- и анэхогенными включениями



Эхопозитивное с включениями всех типов

Чиаров  
7.М.

## Серозная аденокарцинома

Опухолевый конгломерат с маткой, ввиду чего она визуализируется нечетко



Солидный тип строения

Эхонегативные включения (часто)

Центральный тип кровотока

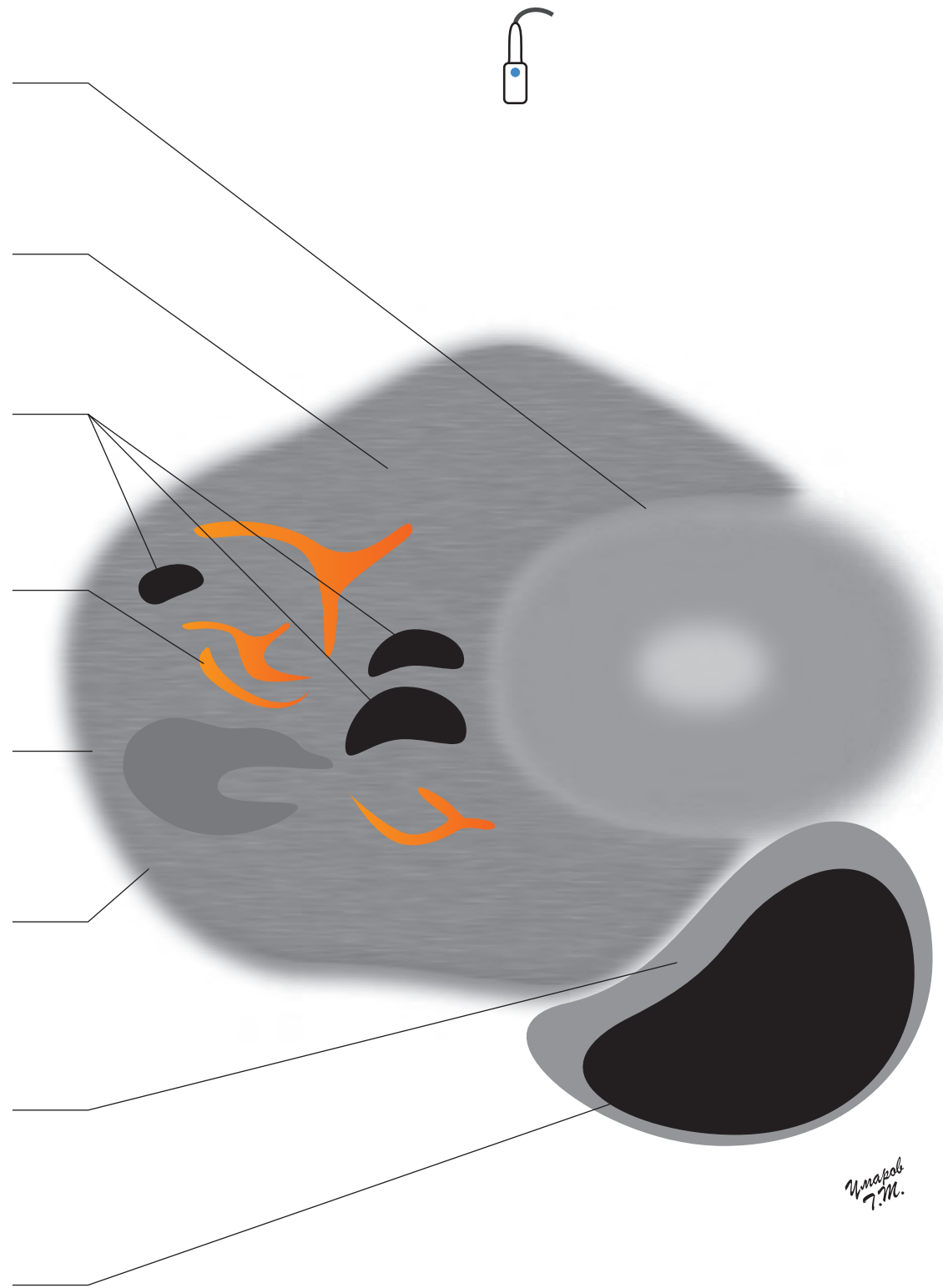
Редко больших размеров

Границы нечеткие из-за подпаянных петель кишечника

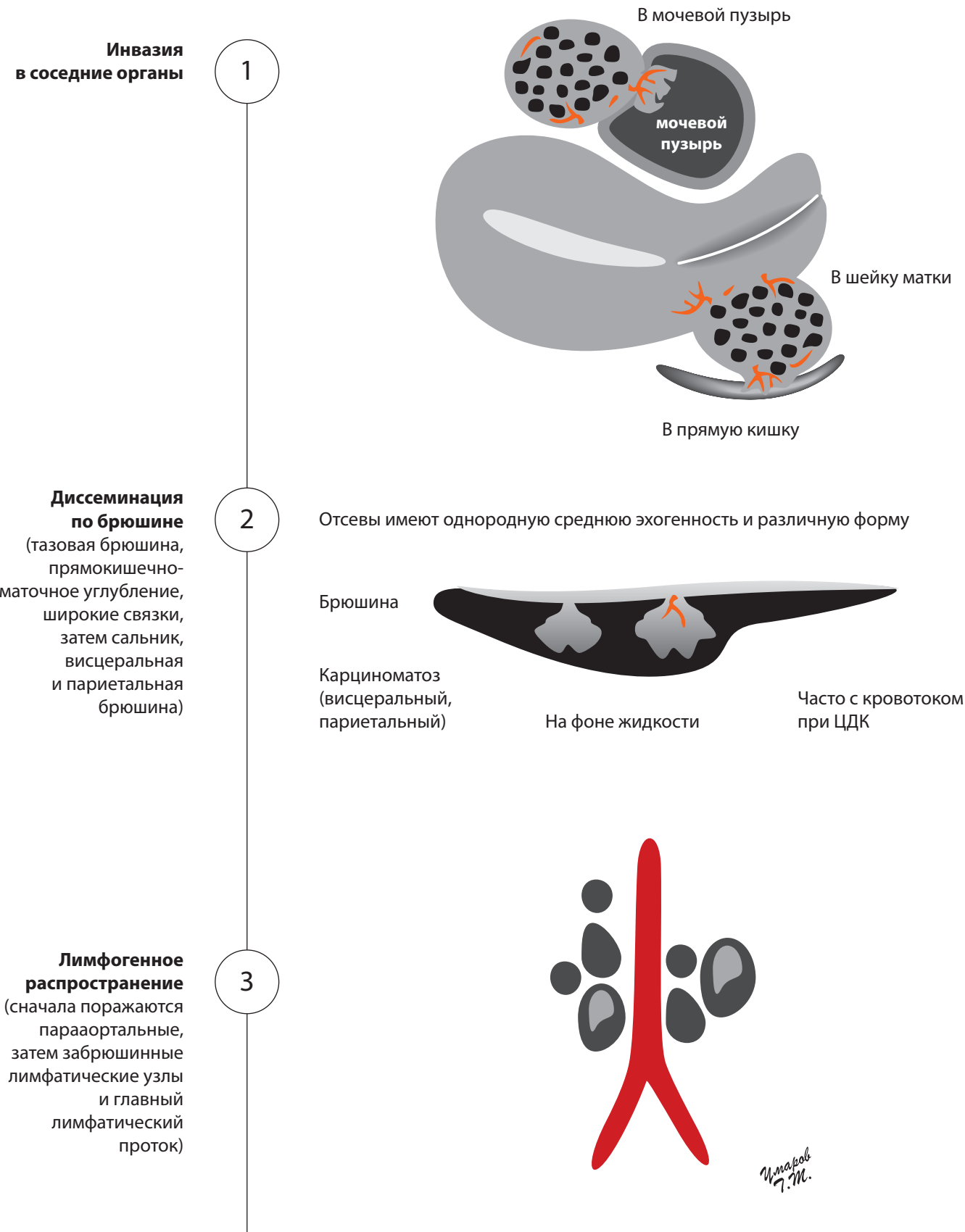
Утолщение пузирно-маточной складки

Сдавление мочевого пузыря

Чмаков  
7.7.

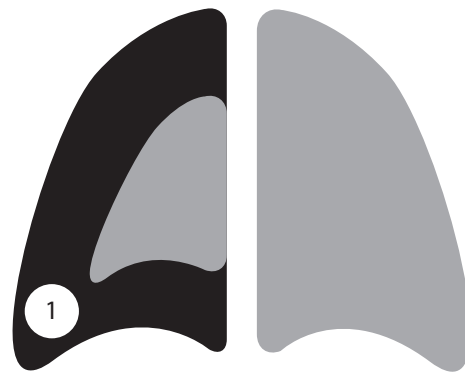


## Типы распространения рака яичников



## Алгоритм обследования при раке яичников

1. Наличие жидкости в плевральной полости



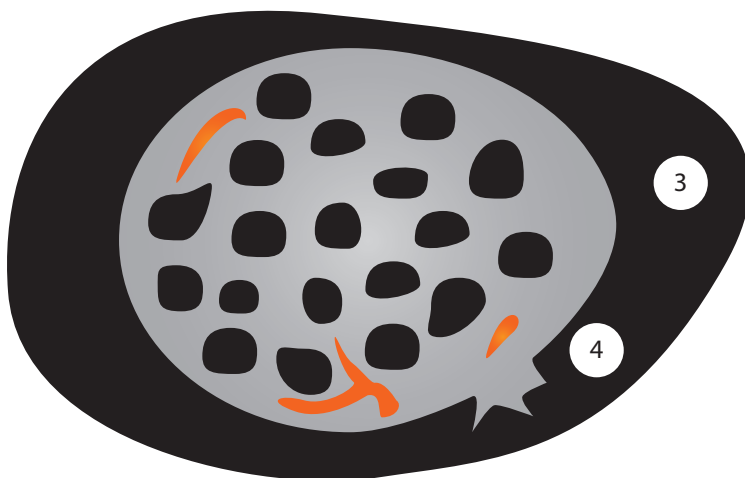
Плевральная полость

2. Наличие признаков карциноматоза



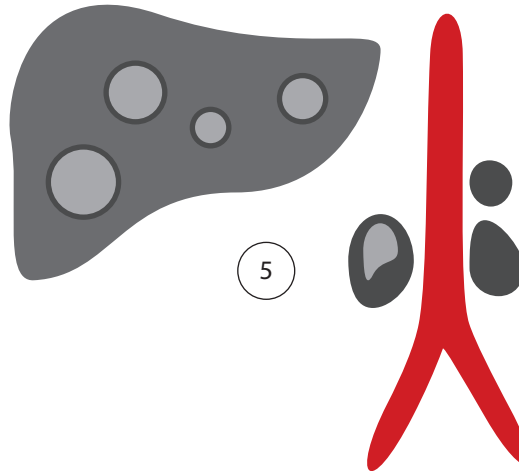
Брюшина

3. Наличие жидкости в малом тазу и в брюшной полости



Малый таз

4. Определение целостности капсулы яичника: визуализация ровного и четкого контура



Печень, забрюшинное пространство

5. Наличие метастазов в регионарные и отдаленные лимфоузлы и в печень

**Важно:** отсутствие корреляции размеров опухоли и стадии заболевания.  
При раке яичника I стадии (отсутствие прорастания капсулы, жидкости в малом тазу и карциноматоза) уровень Са-125 в пределах нормы

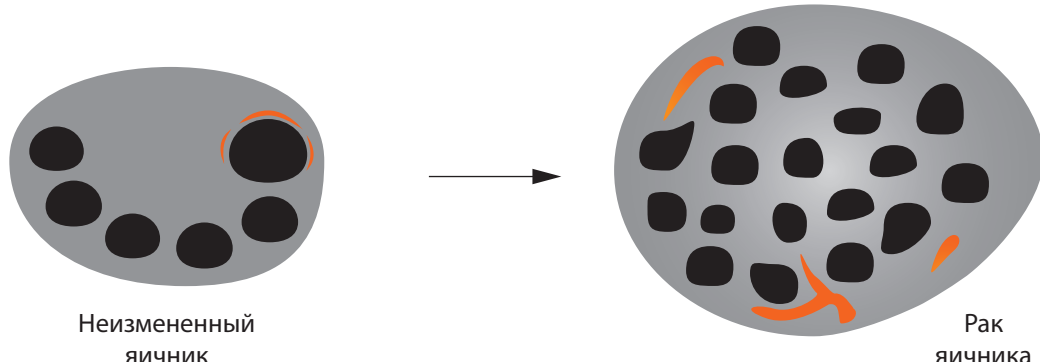
Чернов  
И.Г.М.

## Первичный рак яичников

Высокий злокачественный потенциал

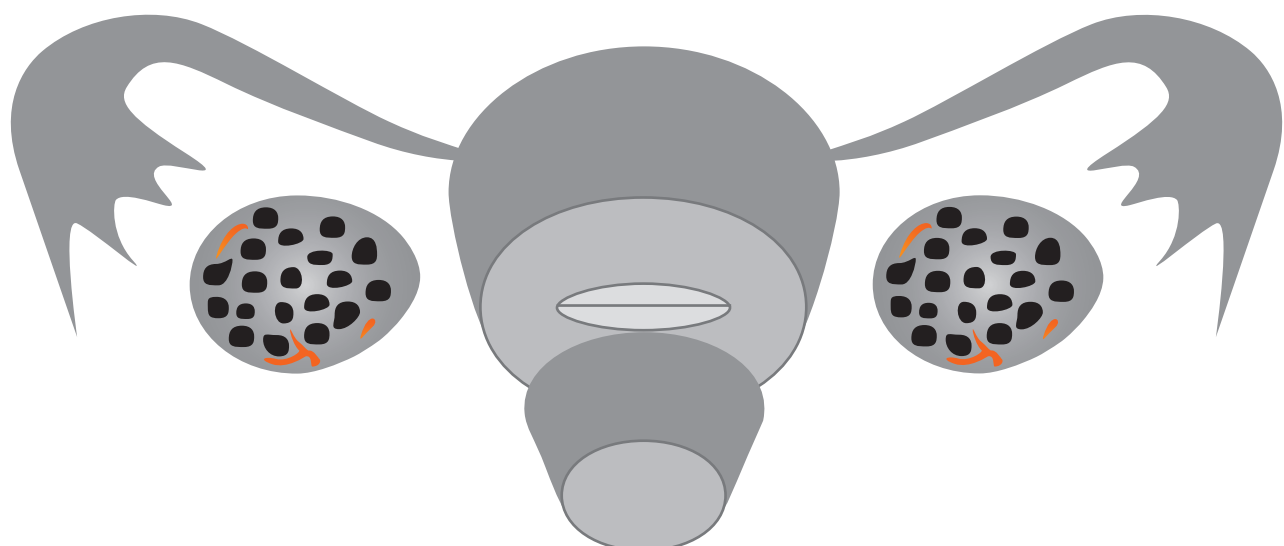
1

**Опухоль возникает в неизмененной ткани яичника *de novo***



2

**Часто одновременно поражаются оба яичника**



3

**«Невидимый» или «асцитный» вариант первичного рака**

- Яичник выглядит неувеличенным или уменьшенным на фоне асцита и карциноматоза
- Опухоль микроскопическая и не визуализируется при УЗИ

